

## Моделирование зависимостей физико-механических характеристик от параметров микро- и наноструктуры полимерных композиционных материалов

# 06, июнь 2012

DOI: 10.7463/0612.0431339

Лурье С. А., Миронов Ю. М., Нелюб В. А., Бородулин А. С., Чуднов И. В., Буянов И. А., Соляев Ю. О.

УДК. 539.3

Россия, МГТУ им. Н.Э. Баумана

[lurie@ccas.ru](mailto:lurie@ccas.ru)

[yury.mironov@gmail.com](mailto:yury.mironov@gmail.com)

[mail@emtc.ru](mailto:mail@emtc.ru)

[asb@emtc.ru](mailto:asb@emtc.ru)

[chudnovi@yandex.ru](mailto:chudnovi@yandex.ru)

[iab@emtc.ru](mailto:iab@emtc.ru)

[juri86@bk.ru](mailto:juri86@bk.ru)

### ВВЕДЕНИЕ

Создание полимерных композиционных материалов (ПКМ), модифицированных наноразмерными включениями, является перспективным направлением улучшения эксплуатационных характеристик конструкций из ПКМ. Повышение долговременной прочности, трещиностойкости и жесткости композита при пониженных температурах эксплуатации, в том числе в условиях Крайнего Севера, достижимо за счет частичной замены макронаполнителя нанонаполнителем. Проводимые экспериментальные исследования влияния параметров нано- и микроструктуры на прочностные свойства полимерных композитов показывают значимость технологии создания ПКМ, в том числе модифицирования наноразмерными объектами, и актуальность данного направления. В данной работе было проведено математическое моделирование физико-механических характеристик полимерного композита от параметров структуры материала, где в качестве матрицы выбрана полиэфирная смола (ПН), а в качестве нанонаполнителя использовались многослойные углеродные нанотрубки (УНТ), а также в качестве макроскопического наполнителя использовалось рубленое стекловолокно марки Е. Разработка математической модели композита, армированного разномасштабными наполнителями,

позволит достоверно прогнозировать физико-механические характеристики данного материала и подбирать наиболее оптимальный вариант наполнения микро- и нановключениями.

## 1. ПОСТАНОВКА ЗАДАЧИ

Для наиболее полного описания свойств нанокompозита модель должна учитывать следующие факторы:

- компонентный состав композита (объемное содержание включений, физико-механические свойства фаз композита);
- масштабные параметры структуры (характерные размеры наполнителей);
- наличие межфазных зон и локальной концентрации напряжений в области нановключений;
- характер адгезионного контакта матрицы и включений;
- изотропную ориентацию включений в матрице;
- характер накопления повреждений в композите при циклической нагрузке;
- характер развития трещин в матрице с разномасштабными наполнителями;
- критерий прочности композита должен учитывать разномасштабность структуры композита;
- влияние температуры.

Разработанная математическая модель описывается на двух уровнях: наноструктуры и микроструктуры. Для наиболее полного описания были сопоставлены теоретические и экспериментальные данные по взаимовлиянию объемного содержания нанотрубок, протяженности межфазных зон и уровню концентрации напряжений в области нановключений. Данные факторы определены экспериментально (с использованием микроскопии и средств спектрального анализа) и теоретически, на основе решения задачи для представительного фрагмента композита с нановключением.

Для построения модели композиционного материала на уровне наноструктуры использовалась прикладная градиентная модель межфазного слоя, предложенная в работах [1, 2] и развитая в работах [3-9]. Учет межфазных слоёв, возникающих в области нановключений, является одним из ключевых факторов при моделировании. Разработанная градиентная модель обладает рядом достоинств, связанных, в частности, с наличием единственного дополнительного параметра, по сравнению с классической теорией упругости. Этот параметр не является феноменологическим и имеет четкий физический смысл. Известно, что данный «градиентный» параметр определяет протяженность межфазного слоя [10] и уровень локальной концентрации напряжений в области включений в композитном материале [11]. Возможность применения градиентной

модели для описания свойств материалов на уровне наноструктуры подтверждена примерами описания экспериментальных данных с нанокompозитами [5], а также с использованием методов молекулярной динамики [8]. При расчетах привлекается плоская (двумерная) постановка модели композита с цилиндрическими включениями, которая учитывает широкий спектр эффектов, характерных композитам с нановключениями [4] и, в то же время, позволяет построить аналитическое решение. Принятое изотропное распределение нановключений учитывается осреднением решения по углу ориентации включения относительно внешних напряжений растяжения и сдвига, в представительном фрагменте.

Для моделирования влияния стекловолокна привлекалась классическая модель механики композиционных материалов с изотропным армированием короткими цилиндрическими включениями [12]. При этом в качестве свойств матрицы использовались характеристики, найденные в результате моделирования композита на уровне наноструктуры.

## 2. ОПИСАНИЕ МОДЕЛИ

Для описания композита полимерная матрица/нановолокно градиентная модель (1) межфазного слоя [1] представляется в виде:

$$L = A - U = A - \frac{1}{2} \iiint_V [C_{ijmn} \frac{\partial R_i}{\partial x_j} \frac{\partial R_n}{\partial x_m} + C_{ijkml} \frac{\partial^2 R_i}{\partial x_k \partial x_j} \frac{\partial R_n}{\partial x_l \partial x_m}] dV, \quad (1)$$

где  $L$  - лагранжиан модели,  $A = \iiint_V P_i^V R_i dV + \iint_F P_i^F R_i dF$  - работа внешних объемных  $P_i^V$  и поверхностных сил  $P_i^F$ ,  $R_i$  - вектор перемещений,  $U$  - потенциальная энергия деформаций среды,  $C_{ijnm} = \lambda \delta_{ij} \delta_{nm} + \mu (\delta_{in} \delta_{jm} + \delta_{im} \delta_{jn})$  - тензор классических модулей,  $\mu, \lambda$  - коэффициенты Ламе,  $C_{ijkml}$  - тензор когезионных модулей, аналогичный тензору модулей шестого ранга в модели Тупина [13],  $x_l$  - компоненты пространственного радиус-вектора,  $\delta_{ij}$  - дельта Кронекера,  $V$  - рассматриваемый объём.

В среде, описываемой градиентной моделью (1), присутствует два типа напряжений: классические  $\sigma_{ij}$  и моментные  $m_{ijk}$ . Физические соотношения модели определяются по формулам Грина (2)

$$\begin{aligned}\sigma_{ij} &= \frac{\partial U}{\partial R_j / \partial x_j} = C_{ijrm} \frac{\partial R_r}{\partial x_m}, \\ m_{ijk} &= \frac{\partial U}{\partial^2 R_j / (\partial x_j \partial x_k)} = C_{ijknml} \frac{\partial^2 R_n}{\partial x_l \partial x_m}.\end{aligned}\quad (2)$$

В общем случае тензор модулей  $C_{ijklml}$  для сред Тупина содержит одиннадцать независимых модулей. Можно упростить структуру тензора  $C_{ijklml}$ , вводя непосредственно в функционал Лагранжа квадратичную форму «когезионных смещений»  $C u_i u_i$  [3, 7],  $u_i = -(1/C)L_{ij}(R_j) = u_i = -C_{ijnm} R_{n,jm} / C$ , где  $L_{ij}(R_j)$  - оператор Ламе,  $L_{ij}(R_j) = C_{ijnm} R_{n,jm}$

$$C_{ijklml} = \frac{1}{C} C_{rijk} C_{rml}.\quad (3)$$

В результате, получим общую трехмерную постановку градиентной модели межфазного слоя, которая содержит лишь один неклассический механический параметр для каждой из фаз - параметр  $C$ . Известно, что данный параметр определяет степень «градиентности» среды (соотношение между протяженностью локальных эффектов в среде и масштабных параметров структуры), определяет когезионные взаимодействия в среде и связан с протяженностью межфазных слоёв, возникающих в области границ [3].

### 3. ВЫБОР ПРЕДСТАВИТЕЛЬНОГО ФРАГМЕНТА

Для построения аналитического решения частного варианта модели был выбран представительный фрагмент композита. Фрагмент композиционного материала с равномерно распределенными и изотропно ориентированными волокнами (УНТ), предполагается таким, как показано на рисунке 1.

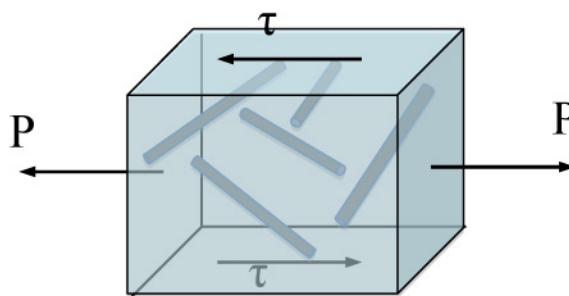


Рисунок 1 - Фрагмент композиционного материала, армированного УНТ

Для определения эффективного модуля Юнга композита решалась задача, в которой фрагмент нагружен растягивающими усилиями  $P$ , и для определения эффективного модуля сдвига решалась задача, в которой заданы внешние сдвигающие усилия  $\tau$ . Волокна

УНТ моделируются включениями цилиндрической формы. Размеры волокон соответствуют средним размерам УНТ или пучков УНТ, присутствующим в реальном композите. Распределение и объемное содержание включений также соответствует усредненным характеристикам микроструктуры реального композита. Для упрощения будем считать, что концентрация УНТ в композите мала и можно рассматривать в качестве представительного фрагмента единственное волокно, окруженное цилиндрическим слоем матрицы (рисунок 2а). Если перенести нагрузку, приходящуюся на торец представительного фрагмента, к торцу волокна (рисунок 2б), то, учитывая однородность матрицы, задача будет эквивалентной исходной. Поэтому предполагалась, что в модели длина включения соответствует длине матрицы.

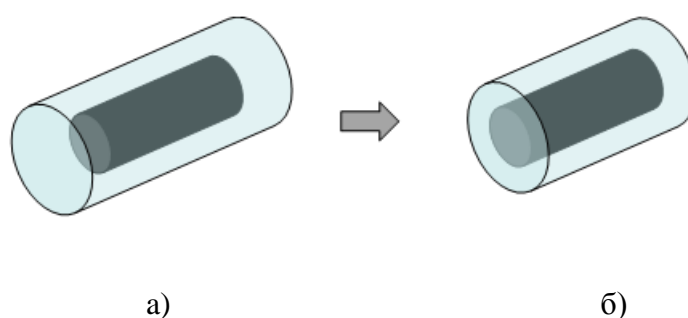


Рисунок 2 - Представительный фрагмент композита с цилиндрическим включением

При изотропном армировании ориентация нанотрубок относительно внешней нагрузки является произвольной (рисунок 3а). Рассматривая упрощенную постановку модели, ось волокон расположена в плоскости действия нагрузки. В этом случае представительный фрагмент находится в сложном напряженном состоянии, которое раскладывается на четыре состояния: растяжение и сдвиг вдоль и растяжение и сдвиг поперёк волокон (рисунок 3б-3д).

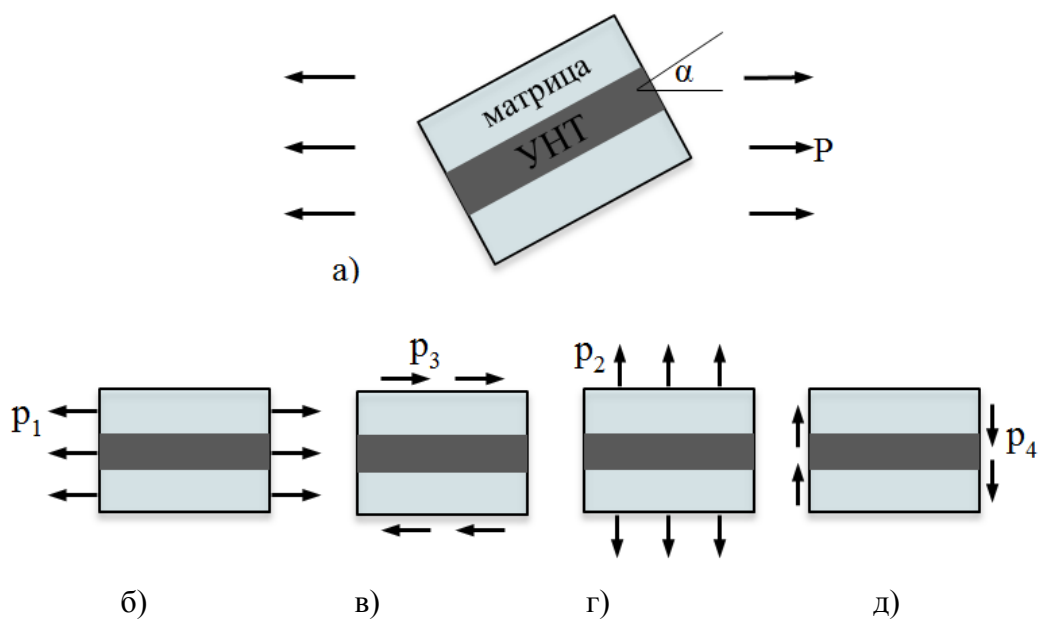


Рисунок 3 - Внешняя нагрузка, приложенная к представительному фрагменту.

Толщина нановолокон –  $2h$ , толщина окружающего слоя матрицы –  $2H$

Значения растягивающих и сдвигающих напряжений, приложенных к представительному фрагменту, зависят от внешней нагрузки и от угла ориентации представительного фрагмента к внешней нагрузке. Для решения задачи растяжения при определении эффективного модуля Юнга получаем следующие значения растягивающих и сдвигающих напряжений (4):

$$p_1 = P \cos^2 \alpha, \quad p_2 = P \sin^2 \alpha, \quad p_3 = P \sin \alpha \cos \alpha, \quad p_4 = P \sin \alpha \cos \alpha. \quad (4)$$

При определении эффективного модуля сдвига (5)

$$p_1 = \tau \sin \alpha \cos \alpha, \quad p_2 = \tau \sin \alpha \cos \alpha, \quad p_3 = \tau \cos^2 \alpha, \quad p_4 = \tau \sin^2 \alpha. \quad (5)$$

Таким образом, для моделирования эффективного модуля Юнга рассматриваемого композита следует решить четыре задачи с различными типами нагружения и определить суммарную энергию деформаций. Далее следует приравнять найденное выражение к энергии деформаций аналогичного гомогенного фрагмента и найти из этого равенства значение эффективного модуля Юнга, который будет зависеть от угла ориентации волокна по отношению к внешней нагрузке. И далее требуется провести осреднение модуля Юнга по углу, что будет соответствовать изотропной ориентации волокон в композите (6):

$$E_{cp} = \frac{\int_0^{2\pi} E(\alpha) d\alpha}{2\pi} \quad (6)$$

#### 4. МАТЕМАТИЧЕСКАЯ ПОСТАНОВКА И РЕШЕНИЕ ЗАДАЧИ РАСТЯЖЕНИЯ ВДОЛЬ ВОЛОКНА

В модели растяжения вдоль волокна численные вычисления будем проводить с привлечением приближенного вариационного метода Власова-Канторовича, в соответствии с которым неизвестная функция перемещений  $R_x(x, y)$  может быть представлена, в виде произведения двух функций  $f(x) \cdot r(y)$ , одна из которых является заданной. Для рассматриваемого представительного фрагмента (рисунок 3б) выберем представление перемещений, при котором вдоль оси волокна реализуется линейное распределение перемещений:

$$R(x, y) = x \cdot r(y) \quad (7)$$

Для более полного описания свойств нанокompозита следует учитывать характер контакта нановключений и матрицы. Для этого требуется рассмотреть вариант прикладной модели межфазного слоя с учетом адгезионных взаимодействий [14, 15]. Потенциальная энергия деформаций среды должна учитывать не только энергию деформаций в объёме  $U$ , но и на поверхности  $U_F$ . Функционал Лагранжа модели будет иметь вид [14]

$$L = A - U - U_F = A - \frac{1}{2} \iiint_V \left[ C_{ijmn} \frac{\partial R_i}{\partial x_j} \frac{\partial R_n}{\partial x_m} + \right. \\ \left. + C_{ijkml} \frac{\partial^2 R_i}{\partial x_k \partial x_j} \frac{\partial R_n}{\partial x_l \partial x_m} \right] dV - \frac{1}{2} \iint A_{ijmn} \frac{\partial R_i}{\partial x_j} \frac{\partial R_n}{\partial x_m} dF \quad (8)$$

где  $A_{ijmn}$  - тензор поверхностных модулей, содержащий в рамках градиентной модели в общем случае изотропной поверхности семь поверхностных модулей [14]. Этот тензор является аналогом тензора модулей упругости, и его компоненты определяют упругие свойства, а также наличие дефектов на поверхности среды и обладают размерностью Н/м [14]. Для дальнейших расчетов будем использовать частные варианты модели, который

может быть получен из постановки (8) с учетом гипотезы (6). Для модели продольного нагружения имеем постановку

$$L = A - U = A - \frac{l}{2} \int_0^{H+h} \int_0^l \left[ E \left( \frac{\partial R_x}{\partial x} \right)^2 + G \left( \frac{\partial R_x}{\partial y} \right)^2 + \frac{1}{C} \left( E \frac{\partial^2 R_x}{\partial x^2} + G \frac{\partial^2 R_x}{\partial y^2} \right)^2 \right] dx dy - \frac{1}{2} \int_0^l B \left( \frac{\partial R_x}{\partial y} \right)^2 dx \quad (9)$$

Подставляя (7) в лагранжиан модели (9) и проводя интегрирование по оси X по длине волокна в интервале  $\{0, l\}$ , получим

$$L = \int_0^{h+H} p_1 l r dy - \frac{1}{2} \int_0^{h+H} \left\{ E l r^2 + \frac{G l^3}{12} (r')^2 + \frac{G^2 l^3}{12 C} (r'')^2 - 2 \alpha K \Delta T l \cdot r \right\} dy - \frac{1}{2} \sum_{y=y_0} \frac{B l^3}{12} (r')^2 \quad (10)$$

где  $p$  - кусочно-постоянная внешняя нагрузка, действующая на торцах представительного фрагмента (рисунок 3б).

В результате применения вариационного принципа Лагранжа [16-19] к выражению (10) получаем вариационное описание модели

$$\delta L = 0, \\ \delta L = \int_0^{h+H} \left( \frac{G^2 l^2}{12 C} r''' - \frac{G l^2}{12} r'' + E r - \alpha K \Delta T - p_1 \right) \cdot \delta r dy + \\ + \sum \left( \left( \frac{G l^2}{12} r' - \frac{G^2 l^2}{12 C} r''' \right) \delta r + \left( \frac{B l^2}{12} r' + \frac{G^2 l^2}{12 C} r'' \right) \delta r' \right)_{y=y_0} = 0 \quad (11)$$

Откуда получаем уравнение равновесия модели и естественные граничные условия (статические - по классическим и моментным напряжениям модели, кинематические - по перемещениям и деформациям)

$$\left\{ \begin{array}{l} \frac{G^2 l^2}{12C} r^{IV} - \frac{Gl^2}{12} r'' + Er - \alpha K \Delta T - p_1 = 0, \\ y = y_0, \\ \frac{Gl^2}{12} r' - \frac{G^2 l^2}{12C} r''' = 0, \quad r = r_0, \\ \frac{Bl^2}{12} r' + \frac{G^2 l^2}{12C} r'' = 0, \quad r' = r_1, \end{array} \right. \quad (12)$$

Отметим, что модель классической термоупругости [17] может быть получена из постановки (12), в случае если градиентный параметр модели  $C$  стремится к бесконечности, в этом случае в среде отсутствуют градиентные эффекты.

Постановка контактной задачи в представительном фрагменте, представленном на рисунке 3б, с учетом симметрии имеет вид

$$\left\{ \begin{array}{l} \frac{G_1^2 l^2}{12C_1} r_1^{IV} - \frac{Gl^2}{12} r_1'' + E_1 r_1 - \alpha_1 K_1 \Delta T - p_1 = 0, \quad 0 < y < h, \\ \frac{G_2^2 l^2}{12C_2} r_2^{IV} - \frac{G_2 l^2}{12} r_2'' + E_2 r_2 - \alpha_2 K_2 \Delta T - p_1 = 0, \quad h < y < H, \\ y = h, \\ r_1 = r_2, \quad r_1' = r_2', \\ G_1 r_1' - \frac{G_1^2}{C_1} r_1''' = G_2 r_2' - \frac{G_2^2}{C_2} r_2''', \quad Br_1' + \frac{G_1^2}{C_1} r_1'' = \frac{G_2^2}{C_2} r_2'', \\ y = h + H, \\ r_2' - \frac{G_2}{C_2} r_2''' = 0, \quad \frac{G_2^2}{C_2} r_2'' = 0. \end{array} \right. \quad (13)$$

Постановка модели (13) содержит в себе обыкновенные дифференциальные уравнения четвертого порядка и допускает построение аналитического решения. Общий вид функций перемещений  $r_i(y)$  с учетом симметрии имеет вид

$$r_i(y) = a_i \cdot \operatorname{ch}(k_{i1} y) + b_i \cdot \operatorname{ch}(k_{i2} y) + r^*(y),$$

$$k_{i1} = \sqrt{\frac{1 + \sqrt{1 - 48E_i/(C_i l^2)}}{G_i/C_i}}, \quad k_{i2} = \sqrt{\frac{1 - \sqrt{1 - 48E_i/(C_i l^2)}}{G_i/C_i}} \quad (14)$$

В записанном выражении индекс  $i$  изменяется от 1 до 2, что соответствует решению в фазе включения и в фазе матрицы, соответственно. Функция  $r^*(y)$  является частным решением уравнений равновесия, связанным с внешней нагрузкой и температурой. Неизвестные коэффициенты  $a_i, b_i$  находятся после подстановки решений (14) в систему граничных условий в (13). Общий вид решения модели (14) содержит экспоненциальные функции, что является характерным для градиентных моделей и позволяет учитывать возникновение локальной концентрации напряжений в области нановключений.

Перемещения в представительном фрагменте, в соответствии с представлением (6), имеют вид

$$r_i(y) = a_i \cdot \text{ch}(k_{i1}y) + b_i \cdot \text{ch}(k_{i2}y) + r^*(y) \quad (15)$$

Деформации находятся из соотношений Коши в цилиндрической системе координат. В представительном фрагменте возникают деформации растяжения и сдвига вдоль оси волокна:

$$\begin{aligned} \varepsilon_{xx}^i &= \frac{\partial R_i(x,y)}{\partial x} = a_i \cdot \text{ch}(k_{i1}y) + b_i \cdot \text{ch}(k_{i2}y) + r^*(y), \\ \varepsilon_{xy}^i &= \frac{1}{2} \frac{\partial R_i(x,y)}{\partial y} = \frac{x}{2} \cdot (a_i k_{i1} \cdot \text{sh}(k_{i1}y) + b_i k_{i2} \cdot \text{sh}(k_{i2}y) + r^*(y)') \end{aligned} \quad (16)$$

Компоненты тензора напряжений находятся из соотношений закона Гука для рассматриваемой постановки задачи в цилиндрических координатах. Во фрагменте отличны от нуля четыре из шести компонент симметричного тензора напряжений:

$$\begin{aligned} \sigma_{yy}^i &= 2\mu \varepsilon_{yy}^i + \lambda \Theta^i = \frac{2G\nu}{1-2\nu} \varepsilon_{xx}^i, \\ \sigma_{\theta\theta}^i &= 2\mu \varepsilon_{\theta\theta}^i + \lambda \Theta^i = \frac{2G\nu}{1-2\nu} \varepsilon_{xx}^i, \\ \sigma_{xx}^i &= 2\mu \varepsilon_{xx}^i + \lambda \Theta^i = E\varepsilon_{xx}^i, \\ \sigma_{y\theta}^i &= 2\mu \varepsilon_{y\theta}^i = 0, \\ \sigma_{\theta x}^i &= 2\mu \varepsilon_{\theta x}^i = 0, \\ \sigma_{xy}^i &= 2\mu \varepsilon_{xy}^i = 2G\varepsilon_{xy}^i, \\ (\Theta^i &= \varepsilon_{yy}^i + \varepsilon_{\theta\theta}^i + \varepsilon_{rr}^i). \end{aligned} \quad (17)$$

Таким образом, в результате решения задачи (13) с использованием формул (14)-(17) может быть определено напряженно-деформированное состояние, возникающее в области цилиндрического нановключения (углеродной нанотрубки) при растяжении.

## 5. РЕЗУЛЬТАТЫ МОДЕЛИРОВАНИЯ

При моделировании проведен перерасчет массовых долей нанотрубок, на объёмные доли, которые используются при моделировании. Для этого использовалась следующая формула связи между значениями объёмной плотности полиэфирной смолы и углеродных нанотрубок и массовых долей, присутствующих в композите фаз по формуле

$$f_m = \frac{M_{OУНТ}}{M_{\Sigma}} = \frac{\rho_{OУНТ} V_{OУНТ}}{\bar{\rho} V_{\Sigma}} = \frac{\rho_{OУНТ}}{\bar{\rho}} f_v. \quad (18)$$

где  $f_m$  - массовая доля содержания нанотрубок в образце,  $M_{OУНТ}$  - суммарная масса углеродных нанотрубок в образце;  $M_{\Sigma}$  - суммарная масса образца;  $\bar{\rho}$  - средняя плотность материала;  $f_v$  - объёмное содержание нанотрубок, равное отношению объёма нанотрубок

к общему объёму образца:  $f_v = \frac{V_{OУНТ}}{V_{\Sigma}}$ .

Рассматривая задачу о растяжении нановключения, изображённую на рисунке 3б, для моделирования характера распределения растягивающих напряжений в области включения требуется решить контактную задачу (13) и определить продольные деформации и напряжения из выражений (16), (17).

Были приняты следующие характеристики УНТ: модуль упругости в продольном направлении  $E_{11}=1000$  ГПа,  $\nu=0,25$ , диаметр 10 нм, длина 500 нм, объёмное содержание 0,1 %. Характеристики полиэфирной смолы  $E_2=3$  ГПа,  $\nu=0.37$ . Значение внешней нагрузки задавалось равным 1 МПа.

Найденное распределение деформаций и напряжений вдоль радиальной координаты в области нановключений представлено на рисунке 4. Здесь сплошной и пунктирной линией обозначены решения при различной протяженности межфазного слоя  $l^*$  в области нановключений в 1 нм и в 1000 нм, соответственно. Отметим, что используемый при вычислениях градиентный параметр  $C$  связан с протяженностью межфазных слоёв в градиентной модели по формуле:  $C=E/l^{*2}$ , где  $E$  – модуль упругости среды [3].

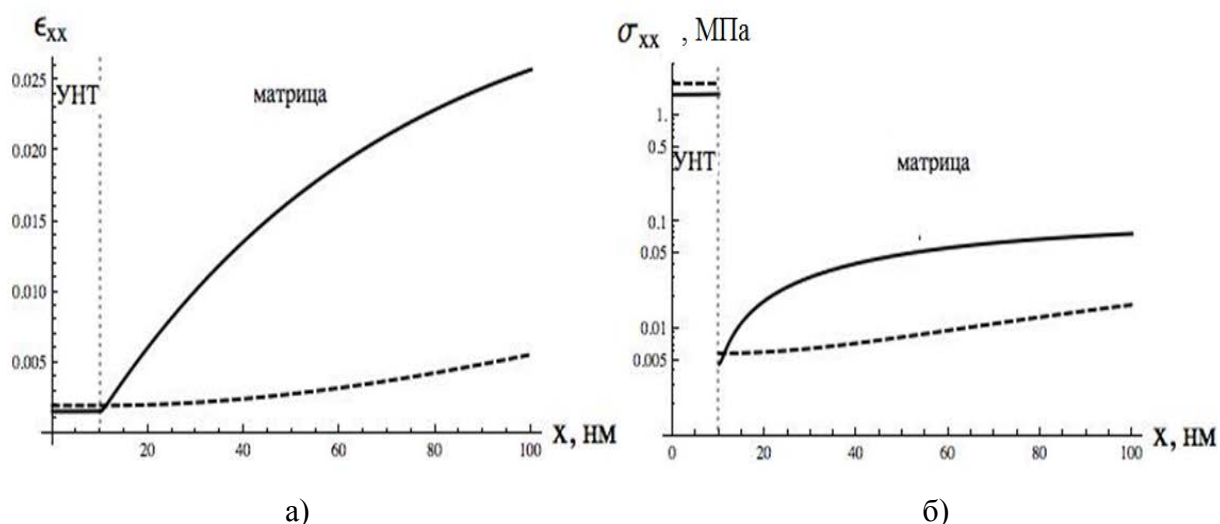


Рисунок 4 - Распределение деформаций (а) и напряжений (б) (в логарифмической системе координат) в области нанотрубки в направлении радиальной координаты

По результатам моделирования распределения напряжений и деформаций в области нановключений (рисунок 4) можно сделать следующие выводы:

1) Градиентная модель позволяет моделировать возникновение межфазных слоёв в области жестких включений без введения дополнительных гипотез или дополнительных слоёв в геометрии структуры. При этом протяженность межфазных слоёв непосредственно связана с характером распределения напряжений и деформаций в области контактной границы фаз композита.

2) На полученных графиках (рисунок 4) при увеличении протяженности межфазных слоёв (с 1 нм до 1 мкм) максимальные напряжения в матрице увеличиваются в 4 раза, а напряжения во включении возрастают более чем в 2 раза.

3) Градиентный параметр  $C$ , может быть идентифицирован для рассматриваемого композита в случае экспериментального определения изменения уровня напряжений в области включений при различной внешней нагрузке. Отметим, что современные методы спектроскопии позволяют оценить характер напряжений в области нановключений. Например, известны результаты аналогичных исследований по определению распределения напряжений в области микро- и нановключений (см. например [20, 21]).

Модель позволяет описывать влияние характерных размеров нановолокон (ОУНТ, МУНТ или пучков УНТ). На рисунке 5 представлено распределение напряжений и деформаций для различных значений длины нанотрубок (пунктирная линия соответствует длине 100 нм, сплошная – 500 нм, штриховая – 1000 нм).

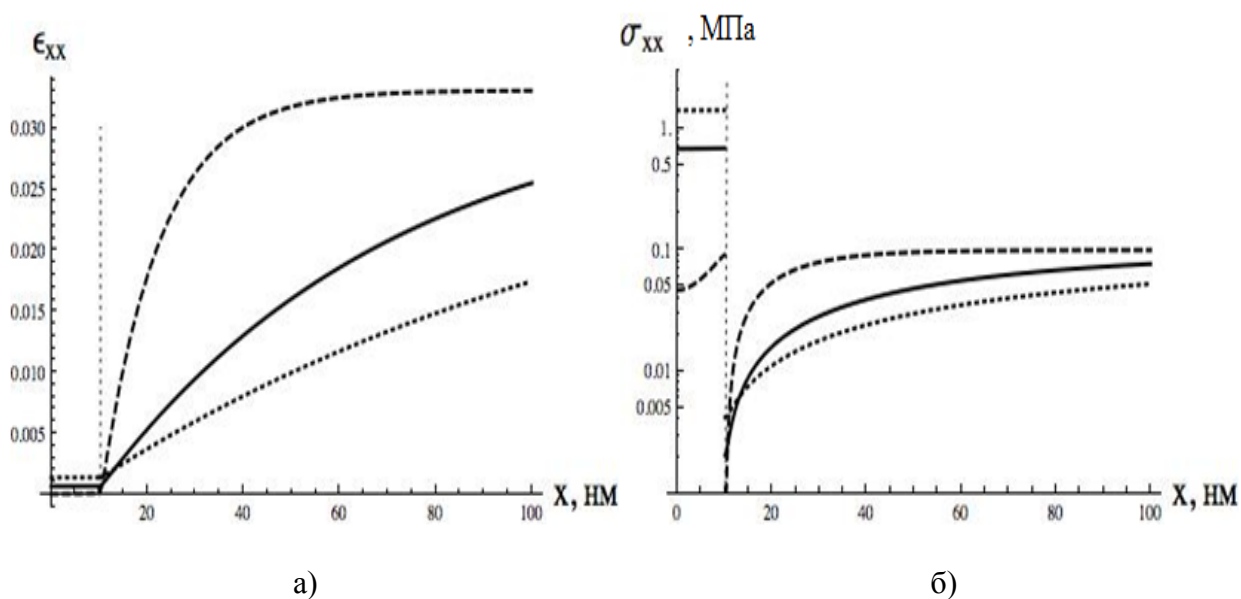


Рисунок 5 - Влияние длины нанотрубок на уровень напряжений и деформаций в области нановключения

Для моделирования влияния температуры, следует учесть, что при пониженной температуре жесткость полимерной матрицы возрастёт, а коэффициент Пуассона понизится. При этом будем предполагать, что объемная доля межфазных зон в композите не изменяется при понижении температуры, то есть градиентные параметры модели не изменяют свое значение. На рисунке 6 пунктиром обозначены деформации и напряжения в случае характеристик матрицы:  $E_2=6$  ГПа,  $\nu=0.2$ . Очевидно, что понижение температуры приводит к повышению уровня напряжений, действующих в матрице при той же внешней нагрузке. В дальнейшем данный эффект следует учитывать при оценке предела прочности композита, который предполагается связанным с пределом прочности и уровнем напряжений, возникающих в матрице.

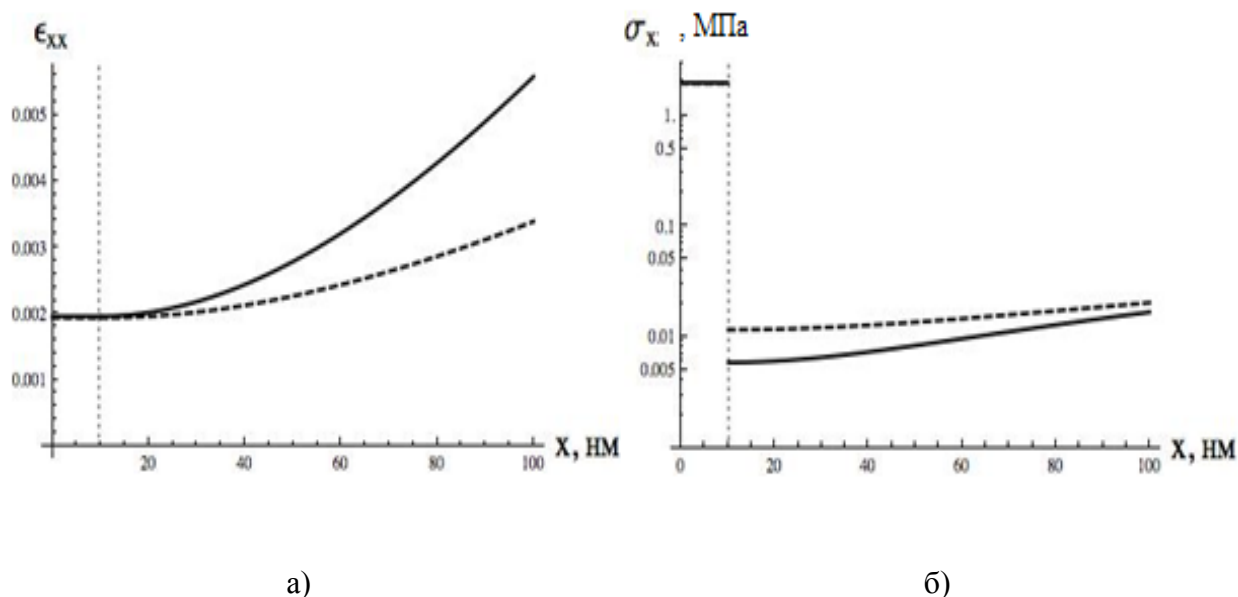


Рисунок 6 - Распределение деформаций и напряжений при различной температуре

## 6. МОДЕЛИРОВАНИЯ ВЛИЯНИЯ ДОБАВЛЕНИЯ УНТ НА МОДУЛИ УПРУГОСТИ И КТР МАТРИЦЫ КОМПОЗИТА

В расчетах определения эффективного модуля Юнга композита, изотропно армированного УНТ, для определения энергии деформаций гомогенного фрагмента эффективный коэффициент Пуассона композита принимался равным 0,3 и независимым от угла ориентации УНТ. Если не делать данного предположения, то следует решать задачи по определению эффективного модуля сдвига и модуля Юнга в связанной постановке. Это планируется сделать в дальнейшей работе.

На рисунке 7 приведен характер зависимости эффективного модуля Юнга представительного фрагмента (рисунок 3а) от его угла ориентации по отношению к внешней нагрузке. График построен в полярных координатах, данные механических характеристик фаз взяты из предыдущего параграфа, объемное содержание УНТ 0,001 %, протяженность межфазного слоя 20 нм.

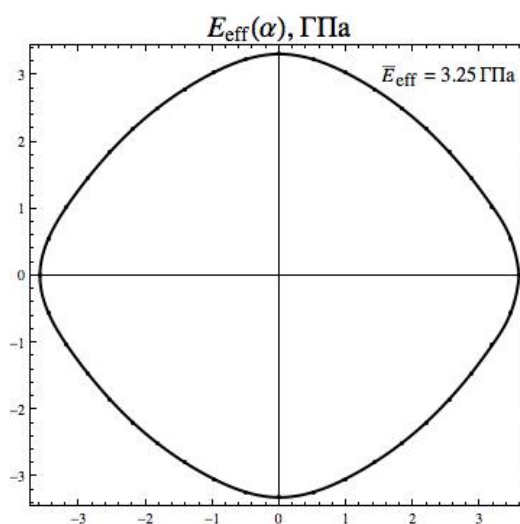
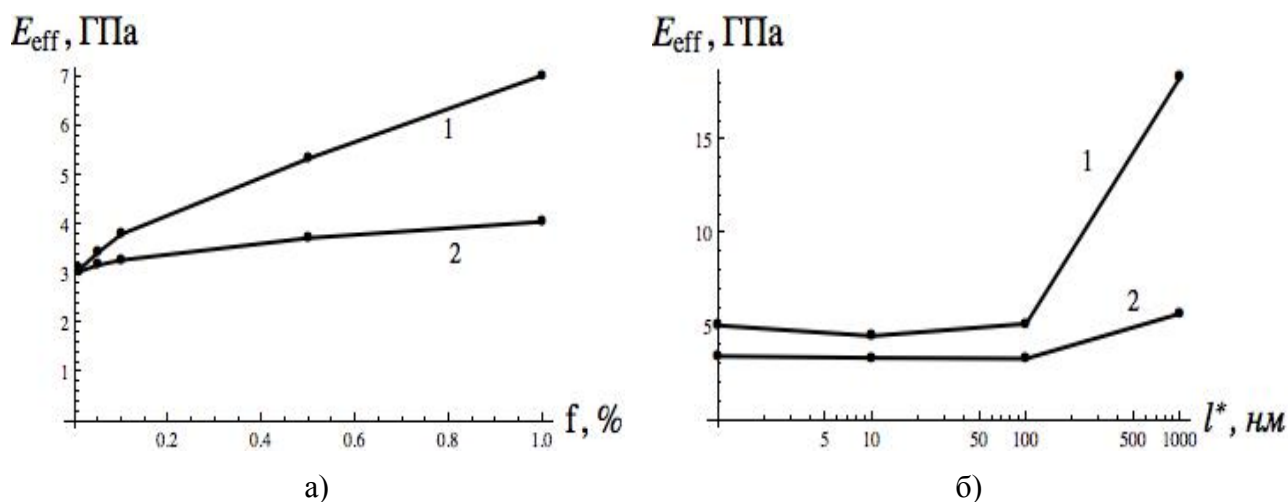


Рисунок 7 - Зависимость модуля упругости композита от угла ориентации углеродных нанотрубок

Наивысшее значение модуля упругости реализуется при расположении нанотрубок вдоль нагрузки, также высоким эффективным модулем обладает структура с ориентацией нанотрубок поперёк нагрузки (в такой структуре значительную область занимают более жесткие межфазные слои). Наименьшей жесткостью обладает структура с ориентацией нанотрубок под  $45^\circ$  к нагрузке, в которой возникают наибольшие сдвиговые напряжения.

Для определения эффективного модуля Юнга композита с изотропным армированием следует провести осреднение по углу (на рисунке 7 указано осредненное значение модуля Юнга для рассматриваемой структуры). На рисунке 8 приведены зависимости модуля Юнга изотропного композита от объёмной доли УНТ (рисунок 8а) и от протяжённости межфазных слоёв (рисунок 8б).



- а) зависимость от объемного содержания УНТ при различной протяженности межфазного слоя (1:  $l^* = 200$  нм, 2:  $l^* = 20$  нм);
- б) зависимость от протяженности межфазного слоя в области включений в при различном объемном содержании УНТ (1: 1 % и 2: 0,1 %)

Рисунок 8 - Зависимость модуля Юнга композита с изотропным армированием УНТ

Модель позволяет прогнозировать эффект «усиления» композита при добавлении УНТ. Данный эффект связан с образование более жестких межфазных зон в матрице в области нановключений, протяженность которых влияет на степень усиления композита (рисунок 8б). Следует отметить, что получение решения не является тривиальной задачей и требует относительно продолжительных вычислений (каждая точка на графиках (рисунок 8) получена в результате осреднения решений 40 краевых задач).

Влияние длины и диаметра нанотрубок представлено на рисунке 9 для различных объемных содержаний УНТ. Как видно из рисунка протяженность УНТ или пучков УНТ оказывают неоднозначное влияние на эффективный модуль. Увеличение длины нановолокон может приводить как к снижению модуля (график 1, диаметр нановолокон 50 нм), так и к увеличению (график 2, диаметр нановолокон 10 нм), в зависимости от диаметра включения.

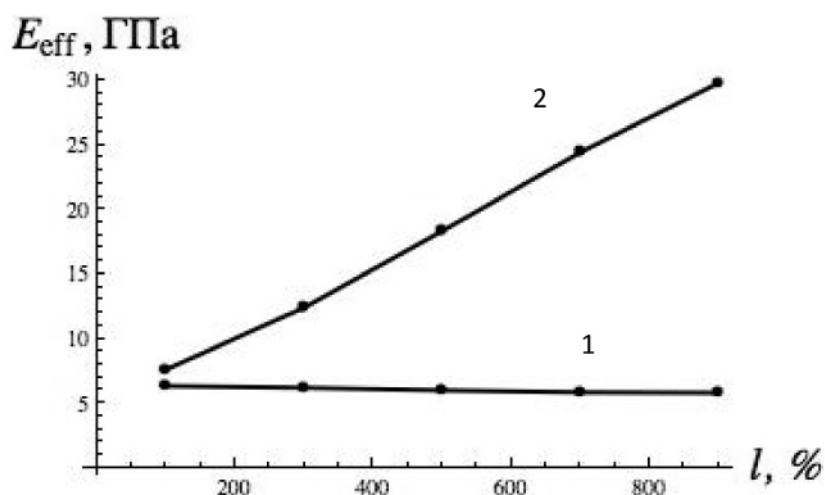


Рисунок 9 - Зависимость эффективного модуля Юнга при различной длине и диаметре нановолокон (объемное содержание УНТ 1 %, протяженность межфазных слоёв 1 мкм)

## 7. МОДЕЛИРОВАНИЕ ИЗМЕНЕНИЯ ПРЕДЕЛА ПРОЧНОСТИ МАТРИЦЫ КОМПОЗИТА ПРИ ДОБАВЛЕНИИ УНТ

Предел прочности наномодифицированного композита определяется свойствами матрицы. При низких значениях температуры разрушение композита происходит, когда в матрице возникают напряжения равные пределу прочности полиэфирной смолы при заданной температуре. При этом следует рассматривать задачу «последовательного соединения» фаз композита, в которой матрица композита находится в наиболее нагруженном состоянии.

Предложенный подход представляется обоснованным, так как углеродные нанотрубки обладают значительно большей прочностью по сравнению с полимером, и они не разрушаются, при разрушении композита. Также такой подход позволяет дать аналитический прогноз пределу прочности нанокомпозита и учесть многие эффекты изменения прочности, характерные данным материалам. Это связано, с тем, что градиентная модель позволяет прогнозировать перераспределение (понижение) напряжений в матрице композита при наличии межфазных слоёв в области нановключений. При одной и той же внешней нагрузке в матрице композита могут реализовываться различные уровни напряжений в зависимости от протяженности межфазного слоя вокруг нановключения, в зависимости от размеров УНТ и наличия дефектов на контакте УНТ с матрицей (рисунки 4-6).

Приведём примеры моделирования предела прочности композита для различных параметров его микроструктуры. На рисунке 10 приведена зависимость предела

прочности композита от объемного содержания УНТ. На рисунке 10а показана зависимость для структуры с идеальным равномерным распределением УНТ (на 1-ом графике толщина УНТ 10 нм, на втором – 20 нм). Из этого рисунка видно, что на прочность во много определяется размерами углеродных нанотрубок, и в случае повышения диаметра нановолокон их вклад в «усиление» композита снижается. На практике именно так и происходит: при увеличении объемного содержания УНТ нанотрубки сложно распределить равномерно по композиту и они образуют агломераты. Пример такого явления моделируется на рисунке 10б, где учтена зависимость диаметра нановолокон в конечной структуре композита от объёмной доли добавленных УНТ (в точках графика указаны принятые значения диаметров нановолокон в нанометрах). Как видим, график 10б описывает характерную зависимость прочности полимерных композитов, армированных УНТ [22].

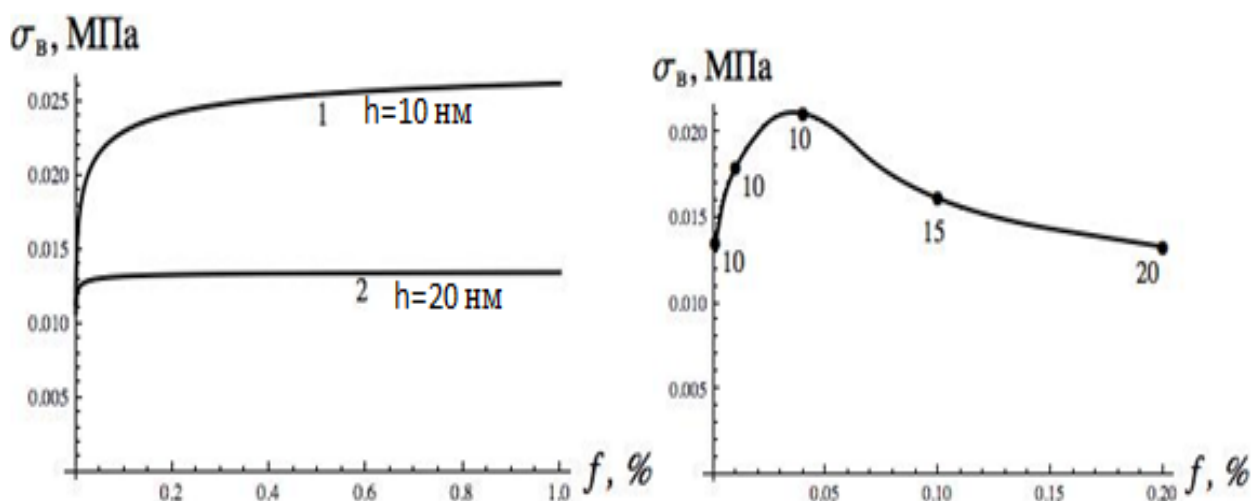


Рисунок 10 - Зависимость предела прочности композита от объёмного содержания углеродных нанотрубок. В предположении пониженных температур приняты следующие исходные данные:  $E_1=1$  ТПа,  $E_2=6$  ГПа,  $l^* = 10$  нм,  $\sigma_{v1}=30$  ГПа,  $\sigma_{v2}=0,01$  ГПа

Для расчетов принято малое значение протяженности межфазного слоя в 10 нм, так как известно, что даже в случае если УНТ не образуют связей с матрицей композита, и в структуре не возникает межфазных зон, прочность композита может увеличиваться более чем в два раза. Из рисунка 10 видно, что этот эффект модель позволяет описать.

## ЗАКЛЮЧЕНИЕ

Предложена математическая модель композита, армированного разномасштабными наполнителями. Показано, что полученные теоретические соотношения позволят

достоверно прогнозировать физико-механические характеристики данного материала и подбирать наиболее оптимальный вариант наполнения микро- и нановключениями. Предложена модель накопления повреждений, связанная с учетом дефектности на контакте матрицы и нановключений. Предложены подходы к оценке прочности, малоциклового усталости и трещиностойкости композита, которые учитывают влияние микро- и наноструктуры на указанные механические характеристики и являются синтезом классических моделей механики и градиентной теории межфазного слоя.

Работа выполнена в рамках государственных контрактов №16.518.11.7081 ФЦП «Исследования и разработки по приоритетным направлениям развития научно-технологического комплекса России на 2007-2013 годы», № 14.740.11.0995 ФЦП «Научные и научно-педагогические кадры инновационной России на 2009-2013 г.» и при поддержке РФФИ (грант № 12-01-00273-а).

#### СПИСОК ЛИТЕРАТУРЫ

1. Образцов И.Ф., Лурье С.А., Белов П.А., Волков-Богородский Д.Б., Яновский Ю.Г., Кочемасова Е.И., Дудченко А.А., Потупчик Е.М., Шумова Н.П. Основы теории межфазного слоя// Механика композиционных материалов и конструкций, 2004, вып.4, с. 596-612.
2. Lurie S., Belov P., Tuchkova N. The Application of the multiscale models for description of the dispersed composites // Int. Journal "Computational Materials Science" A., 2004, V.36(2), pp. 145-152.
3. Lurie S.A. and Belov P.A Cohesion field: Barenblatt's hypothesis as formal corollary of theory of continuous media with conserved dislocations// Int.J.of Fracture, V. 150, (1-2), 2008. pp. 181-194.
4. Белов П.А., Гордеев А.В. Моделирование свойств композиционного материала, армированного короткими волокнами. Учет адгезионных взаимодействий // Композиты и наноструктуры, 2010, №1, с. 40-46.
5. Бадамшина Э.Р., Эстрин Я.И., Кулагина Г.С., Лурье С.А., Соляев Ю.О. Моделирование аномальных механических свойств полиуретана модифицированного углеродными однослойными нанотрубками. Механика композиционных материалов и конструкций. 2010, Т.16, N 4, с. 551-562.
6. Волков-Богородский Д.Б., Лурье С.А. Интегральные формулы Эшелби в градиентной теории упругости. МТТ, Изв. РАН. 2010. №4. с. 182-192.

7. Lurie, S.A. Advanced theoretical and numerical multiscale modeling of cohesion/adhesion interactions in continuum mechanics and its applications for filled nanocomposites / Lurie, S.A., Volkov-Bogorodsky, D.B., Zubov, V.I., Tuchkova, N. P. // *Comp. Mat. Science* – 2009. –V. 45– I. 3– P. pp. 709-714.
8. Gusev A.A., Lurie S.A. “Strain-Gradient Elasticity for Bridging Continuum and Atomistic Estimates of Stiffness of Binary Lennard-Jones Crystals” // *Adv. Eng.Mat.* 2010. V.12, I.6, pp. 529 – 533.
9. S.Lurie, D.Volkov-Bogorodsky, A.Leontiev, E.Aifantis. Eshelby’s inclusion problem in the gradient theory of elasticity. Applications to composite materials. // *International Journal of Engineering Science.* 2011. V.49. pp. 1517-1525.
10. Лурье С.А., Соляев Ю.О. Модифицированных метод Эшелби в задаче определения эффективных свойств со сферическими микро- и нановключениями, *Вестник ПГТУ. Механика*, 2010, № 1, с. 80-90.
11. Волков-Богородский Д.Б., Евтушенко Ю.Г., Zubov В.И., Лурье С.А. Численно-аналитический учет масштабных эффектов при расчете деформаций нанокompозитов с использованием блочного метода мультиполей // *Вычислительная математика и математическая физика*, 2006, Т.46. №7. с. 1318-1337.
12. Кристенсен Р.М. Введение в механику композитов: Пер. с англ. – М.Мир, 1982. – 334 С.
13. Р.А. Тупин. Теории упругости, учитывающие моментные напряжения. Перевод В.А. Пальмова // *Механика.* 1965. Т.91. №3. 113-140 С.
14. Лурье С.А. Тучкова Н. П. Континуальные модели адгезии для деформируемых твердых тел и сред с наноструктурами. // *Композиты и наноструктуры*, 2009, 2(2), с. 25-43.
15. Белов П.А., Лурье С.А. Теория идеальных адгезионных взаимодействий, *Механика композиционных материалов и конструкций*, 2007, том 13, №3, с. 23-29.
16. Лурье С.А., Соляев Ю.О. Модифицированный метод Эшелби в задаче определения эффективных свойств с микро- и нано- включениями. *Вестник ПГТУ, серия Механика*, вып. «Математическое моделирование физико-механических процессов», 2010, N1, с. 80-90.
17. Ю.О. Соляев, С.А. Лурье, А.А. Касимовский, Д.Д. Иванова. Методика прогноза эффективных термоупругих свойств композитной керамики на основе SiC, армированной углеродными нанотрубками // *Труды Всероссийской конференции механика наноструктурированных материалов и систем.* 2011. Т. 1. с. 120-130.

18. Механика разрушения композиционных материалов. Г.П. Черепанов. М: Наука.1983 г. 295 С.
19. Механика хрупкого разрушения. Г.П. Черепанов. М.:Наука. 1974 г. 640 С.
20. P.W.J. Van Den Heuvel, T. Pesijs, R.J. Young. Analysis of stress concentrations in multi-fibre microcomposites by means of Raman spectroscopy. // J Mat Sci Let. V. 35. I. 4. pp. 461-475.
21. M. Mu, S. Osswald, Y. Gogotsi, K. Winey. An in situ Raman spectroscopy study of stress transfer between carbon nanotubes and polymer // Nanotechnology 20 (2009) pp. 134-158.
22. Н.А. Степнищев. Нанокompозиты: проблемы наполнения // Пластикс. 2010. №4 (86). с. 22-27 ([http://www.plastics.ru/pdf/Stepanischev\\_04\\_2010.pdf](http://www.plastics.ru/pdf/Stepanischev_04_2010.pdf)).

## Modeling of dependences of physical-mechanical properties on parameters of micro- and nanostructure polymer composite materials

# 06, June 2012

DOI: 10.7463/0612.0431339

Lur'e S.A., Mironov Yu.M., Nelyub V.A., Borodulin A.S., Chudnov I.V., Buyanov I.A., Solyaev Yu.O.

Russia, Bauman Moscow State Technical University

[lurie@ccas.ru](mailto:lurie@ccas.ru)

[yury.mironov@gmail.com](mailto:yury.mironov@gmail.com)

[mail@emtc.ru](mailto:mail@emtc.ru)

[asb@emtc.ru](mailto:asb@emtc.ru)

[chudnovi@yandex.ru](mailto:chudnovi@yandex.ru)

[iab@emtc.ru](mailto:iab@emtc.ru)

[juri86@bk.ru](mailto:juri86@bk.ru)

The authors propose a mathematical model of polymer composite armored with fillers of various sizes. It is shown that the obtained theoretical relations allow to predict physical-mechanical properties of certain material reliably and to determine an optimal variant of filling with micro- and nano-inclusions.

---

Publications with keywords: [microstructure](#), [nanostructure](#), [interphase area](#), [nano-inclusion and gradient](#)

Publications with words: [microstructure](#), [nanostructure](#), [interphase area](#), [nano-inclusion and gradient](#)

---

### References

1. Obraztsov I.F., Lur'e S.A., Belov P.A., Volkov-Bogorodskii D.B., Ianovskii Iu.G., Kochemasova E.I., Dudchenko A.A., Potupchik E.M., Shumova N.P. Osnovy teorii mezhfaznogo sloia [Fundamentals of the theory of interphase layer]. *Mekhanika kompozitsionnykh materialov i konstruktsii* [Mechanics of Composite Materials and Structures], 2004, no. 4, pp. 596-612.
2. Lurie S., Belov P., Tuchkova N. The Application of the multiscale models for description of the dispersed composites. *Composites Part A: Applied Science and Manufacturing*, 2005, vol. 36, no. 2, pp. 145-152.

3. Lurie S.A., Belov P.A. Cohesion field: Barenblatt's hypothesis as formal corollary of theory of continuous media with conserved dislocations. *International Journal of Fracture*, 2088, vol. 150, no. 1-2, pp. 181-194.
4. Belov P.A., Gordeev A.V. Modelirovanie svoistv kompozitsionnogo materiala, armirovannogo korotkimi voloknami. Uchet adgezionnykh vzaimodeistvii [Modeling the properties of composite materials reinforced by short fibers. Accounting the adhesive interactions]. *Kompozity i nanostruktury* [Composites and nanostructures], 2010, no. 1, pp. 40-46.
5. Badamshina E.R., Estrin Ia.I., Kulagina G.S., Lur'e S.A., Soliaev Iu.O. Modelirovanie anomal'nykh mekhanicheskikh svoistv poliuretana modifitsirovannogo uglerodnymi odnosloinymi nanotrubkami [Modeling of anomalous mechanical properties of polyurethane modified by carbon single-layer nanotubes]. *Mekhanika kompozitsionnykh materialov i konstruksii* [Mechanics of Composite Materials and Structures], 2010, vol. 16, no. 4, pp. 551-562.
6. Volkov-Bogorodskii D.B., Lur'e S.A. Integral'nye formuly Eshelbi v gradientnoi teorii uprugosti [Eshelby integral formulas in the gradient theory of elasticity]. *Izvestiia RAN. Mekhanika tverdogo tela* [Bulletin of the Russian Academy of Sciences. Mechanics of rigid body], 2010, no. 4, pp. 182-192.
7. Lurie S.A., Volkov-Bogorodsky D.B., Zubov V.I., Tuchkova N.P. Advanced theoretical and numerical multiscale modeling of cohesion/adhesion interactions in continuum mechanics and its applications for filled nanocomposites. *Computational Materials Science*, 2009, vol. 45, no. 3, pp. 709-714.
8. Gusev A.A., Lurie S.A. Strain-Gradient Elasticity for Bridging Continuum and Atomistic Estimates of Stiffness of Binary Lennard-Jones Crystals. *Advanced Engineering Materials*, 2010, vol. 12, no. 6, pp. 529-533. DOI: 10.1002/adem.201000004
9. Lurie S., Volkov-Bogorodsky D., Leontiev A., Aifantis E. Eshelby's inclusion problem in the gradient theory of elasticity. Applications to composite materials. *International Journal of Engineering Science*, 2011, vol. 49, no. 12, pp. 1517-1525. DOI: <http://dx.doi.org/10.1016/j.ijengsci.2011.05.001>
10. Lur'e S.A., Soliaev Iu.O. Modifitsirovannyi metod Eshelbi v zadache opredeleniia effektivnykh svoistv so sfericheskimi mikro- i nanovkliucheniiami [Modified method of Eshelby in the problem of determining the effective properties with spherical micro- and nano-inclusions]. *Vestnik PGTU. Mekhanika* [Herald of PSTU. Mechanics], 2010, no. 1, pp. 80-90.
11. Volkov-Bogorodskii D.B., Evtushenko Iu.G., Zubov V.I., Lur'e S.A. Chislenno-analiticheskii uchet masshtabnykh effektov pri raschete deformatsii nanokompozitov s ispol'zovaniem blochnogo metoda mul'tipolei [Numerical-analytical account of the scale effects in the calculation of deformation of nanocomposites with the use of the block method of multipoles]. *Vychislitel'naia matematika i matematicheskaiia fizika* [Computational Mathematics and Mathematical Physics], 2006, vol. 46, no. 7, pp. 1318-1337.

12. Christensen R.M. *Mechanics of composite materials*. New York, Wiley-Interscience publication, 1979. 348 p. (Russ. ed.: Kristensen R.M. *Vvedenie v mekhaniku kompozitovl*. Moscow, Mir, 1982. 334 p.).
13. Toupin R.A. Theories of Elasticity with Couple-stress. *Arch. Ration. Mech. Anal.*, 1964, no. 17, pp. 85–112. (Russ. ed.: Tupin R.A. Teorii uprugosti, uchityvaiushchie momentnye napriazheniia. *Mekhanika. Sb. perev.* [Mechanics. Collection of translations], 1965, no. 3 (91), pp. 113-140.).
14. Lur'e S.A. Tuchkova N.P. Kontinual'nye modeli adgezii dlia deformiruemykh tverdykh tel i sred s nanostrukturami [Continuous models of the adhesion for deformable solids and the media with nanostructures]. *Kompozity i nanostrukturny* [Composites and nanostructures], 2009, no. 2, pp. 25-43.
15. Belov P.A., Lur'e S.A. Teoriia ideal'nykh adgezionnykh vzaimodeistvii [Theory of the ideal adhesive interactions]. *Mekhanika kompozitsionnykh materialov i konstruksii* [Mechanics of Composite Materials and Structures], 2007, vol. 13, no. 3, pp. 23-29.
16. Lur'e S.A., Soliaev Iu.O. Modifitsirovannyi metod Eshelbi v zadache opredeleniia effektivnykh svoistv s mikro- i nano- vklucheniiami [The modified Eshelby method at the problem of determining the effective properties of micro-and nano-inclusions]. *Vestnik PGTU. Mekhanika* [Herald of PSTU. Mechanics], 2010, no. 1, pp. 80-90.
17. Soliaev Iu.O., Lur'e C.A., Kasimovskii A.A., Ivanova D.D. Metodika prognoza effektivnykh termouprugikh svoistv kompozitnoi keramiki na osnove SiC, armirovannoi uglerodnymi nanotrubkami [The methodology of the forecast of effective thermoelastic properties of composite ceramics on the basis of SiC reinforced with carbon nanotubes]. *Trudy Vserossiiskoi konferentsii mekhanika nanostrukturirovannykh materialov i system* [Proc. of the All-Russian Conference "Mechanics of Nanostructured Materials and Systems"], 2011, vol. 1, pp. 120-130.
18. Cherepanov G.P. *Mekhanika razrusheniia kompozitsionnykh materialov* [Mechanics of fracture of composite materials]. Moscow, Nauka, 1983. 295 p.
19. Cherepanov G.P. *Mekhanika khrupkogo razrusheniia* [Mechanics of brittle fracture]. Moscow, Nauka, 1974. 640 p.
20. Van Den Heuvel P.W.J., Pesijs T., Young R.J. Analysis of stress concentrations in multi-fibre microcomposites by means of Raman spectroscopy. *Journal of Materials Science Letters*, 1996, vol. 15, no. 21, pp. 1908-1911. DOI: 10.1007/BF00264093
21. Mu M., Osswald S., Gogotsi Y., Winey K. An in situ Raman spectroscopy study of stress transfer between carbon nanotubes and polymer. *Nanotechnology*, 2009, vol. 20, no. 33, article no. 335703. [doi:10.1088/0957-4484/20/33/335703](https://doi.org/10.1088/0957-4484/20/33/335703)
22. Stepnishchev N.A. Nanokompozity: problemy napolneniia [Nanocomposites: Problems of filling]. *Plastiks*, 2010, no. 4 (86), pp. 22-27. Available at: [http://www.plastics.ru/pdf/Stepanischev\\_04\\_2010.pdf](http://www.plastics.ru/pdf/Stepanischev_04_2010.pdf), accessed 13.07.2012.